

岐阜大学 学生員 筱田成郎
 京都大学 正員 土屋義人
 岐阜大学 正員 安田孝志

1. 緒言 海岸波浪の統計的特性に関する研究は、Nearshore Dynamicsへの関心とあいまって活発になりつつあり、最近ではzero-cross 法による波別解析法がそのための有力な手法とされているようである。著者らは、海岸波浪の統計的特性はその力学的構造と密接に関わっており、統計量の定義もそれに対応して行なわれるべきであると考えている。海岸波浪は、周期に支配されない1波ごとの独立性が強い、いわば粒子的構造を持った波と考えられ、それ故に個々の波を独立に扱う波別解析法が有効になってしまっているのであるが、このような波に対して周期波を当てることは明らかな矛盾である。ここでは、海岸波浪の主要部分の力学的構造はソリトンを成分とするソリトン構造になっており、海岸波浪の不規則性はその固有値の不規則性に依っているとの立場から、ソリトンスペクトル理論¹⁾によて海岸波浪の統計的特性を評価すると同時に、従来のzero-cross 法による結果とも比較し、海岸波浪の統計的特性の波の定義すなわち力学的構造に対する依存度を明らかにしたい。

2. 海岸波浪の力学的構造 沿海域においては分散性が弱くなる反面、非線形性が強まるため、そこで波浪は一種の平衡状態、いわゆるソリトン状態にあるものと考えられ、著者らは海岸波浪をソリトンの連なりとして表現するソリトンスペクトル理論を提案した。これによれば、海岸波浪の波形は次式で表されることになる。

$$\eta = \sum_i \eta_i - \eta_0, \quad \eta_i = A_i \operatorname{sech}^2 \Omega_i, \quad \Omega_i = \sqrt{3A_i/4} (x/h - c_i t + \sqrt{g/h} + s_i), \quad \eta_0 = (1/T) \int_{-\infty}^{+\infty} \eta dt, \quad c_i = 1 + A_i/2 - 3\eta_0/2 \quad (1)$$

ここに、 s_i : 各ソリトンの波峯の座標、 h : 平均水深、 T : 観測時間、 η : 重力の加速度および η_0 : $\int_{-\infty}^{+\infty} \eta dt = 0$ を満足させたために導入される定数。

図-1は、京都大学防災研究所附属大規模波浪観測所の長大橋を用いて得られた水深5.7m地点での現地波浪の観測記録から直交化法によって式(1)の係数を決定し、ソリトン合成して元の実

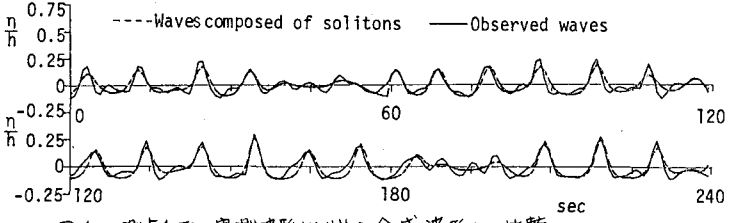


図-1 測点1での実測波形とソリトン合成波形との比較

測波形と比較したものである。これから、海岸波浪の主要部分についてはソリトンスペクトル理論の表示精度が極めて良好であり、少なくとも波形の表現法としてもこの理論が有力な手法となりうることがわかる。

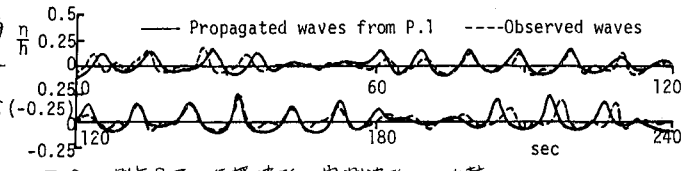


図-2 測点2での伝播波形と実測波形との比較

図-2は、測点1での波をソリトンとして8.75m離れた測点2まで伝播させ、そこでの実測波形と比較したものである。波群ごとに伝播が一致している部分と一定位相だけ離れていた部分とに分かれているが、波群ごとの修正を行なえば位相は一致することから、各波はソリトンとして伝播しながら、波群ごとに異なる拘束を受けているものと考えられる。以上の結果は、浅海域においてもなお波群構造が存在しているが、基本的には海岸波浪の力学的構造がソリトンを成分波としたソリトン構造となっていることを示すものである。

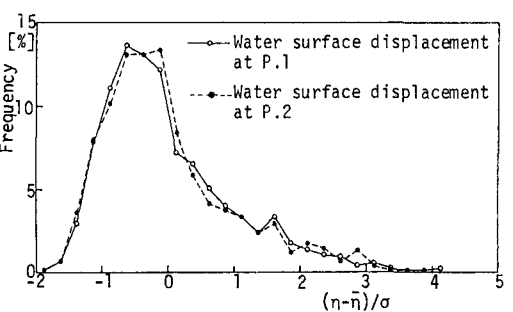


図-3 測点1および2での水位分布の比較

3. ソリトンスペクトル理論による海岸波浪の統計的特性 図-3は、測点1および2での前述の波の水位分布である。水位分布の空間変化は小さいが、正規分布から大きく乖離しており、測点1におけるkurtosisおよびskewnessがそれぞれ4.26および1.14となることからも、非線形性が卓越した波であることがわかる。

図-4は、ソリトンスペクトル理論による唯一の統計量である固有値 H_i/\bar{h} の頻度分布を示す。相互干渉を無視して固有値を決定しているという問題はあるものの、固有値が空間的にはほぼ保存されており、固有値の分布、すなわちソリトンスペクトル分布が海岸波浪の統計的特性を評価するための普遍的な統計量になりうることがわかる。

4. zero-cross法による統計量との比較 図-5は、zero-up cross法、zero-down cross法およびソリトンスペクトル法によって波を定義して求めた測点1での波高 H の頻度分布を示す。波高の分布形状は波の定義法に大きく依存してそれ自体異なっており、特にzero-cross法による分布とソリトンスペクトル理論による分布との相異が著しい。 $H/\bar{H}(=A/\bar{A}) < 1.3$ の比較的波高の小さな波に対してはzero-cross法による頻度が高く、逆に $H/\bar{H}(=A/\bar{A}) > 1.7$ の波高の大きな波ではソリトンスペクトル理論による頻度が高くなっている。これは、勿論ソリトンスペクトル理論による波形の分解能の精度にも依るが、用いるzero-cross法と実測波のソリトン分解によって固有値(= [%]波高)を決定するソリトンスペクトル理論との波高の決定法に依っていることは当然であり、いずれ用いるべきかは、力学的構造との対応および統計量としての普遍性によって決定されるべきである。図-6は、後者の問題を検討するために、各定義法による波高の頻度分布の空間変化を示したものである。これから、ソリトンスペクトル理論によるものが最も変化が小さく、統計量として必須である普遍性において優れていることがわかる。

5. 波高と周期の結合分布特性

図-7は、zero-cross法およびソリトンスペクトル理論による各波の波高(固有値)と周期(波峯間隔)との結合分布を測点1および2について示したものである。

6. 結語

海岸波浪の統計的特性がその力学的構造と無関係に議論されることが多いことに疑問を持ち、力学的基礎を持つソリトンスペクトル理論によって統計量を定義し、これが従来のzero-cross法による統計量よりも空間的普遍性において優れ、海岸波浪の統計的特性を評価する上での普遍性を持つことを示すことができた。

参考文献: 1) 土屋・安田・武山; 相互干渉を無視した場合のソリトンスペクトルの理論, 第28回海講論文集, pp.89-91, 1981

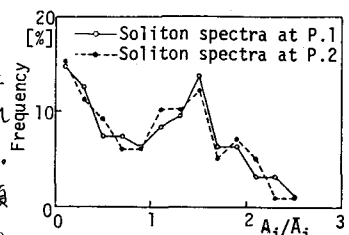


図-4 測点1および2でのソリトンスペクトル分布の比較

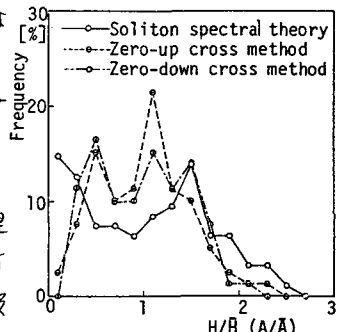


図-5 波の定義法による波高の頻度分布の空間的变化の相異

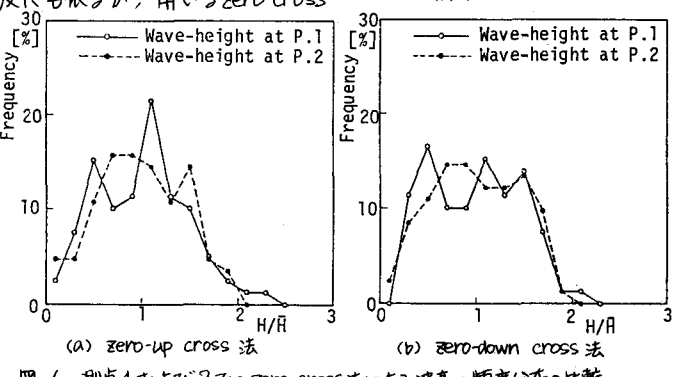


図-6 測点1および2でのzero-cross法による波高の頻度分布の比較

